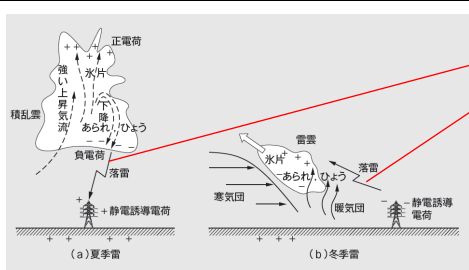


| 発生 刷数 | 頁数 位置 | 正誤内容 | |
|---------------|---|---|---|
| | | 誤 | 正 |
| 1刷 | P.6 6行目 | 7章 電力系統の同期安定性と直流連系 | 7章 電力系統の安定性と直流連系 |
| | P.114 8～9行目 | …電相インピータンスの小さな系統では三相短路電流以上に大きくなるので、… | …零相インピータンスの小さな系統では三相短絡電流以上に大きくなるので、… |
| | P.249 下から3～4行目 | …係数 K は抑制率と呼ばれ、定数 K を零とすると、 $ k_d/I_d > K$ のとき動作するので、… | …係数 k は抑制率と呼ばれ、定数 K を零とする \Rightarrow $ k_d/I_d > k$ のとき動作するので、… |
| | P.257 1行目 2行目 | 7章 電力系統の同期安定性と直流連系 7.1 電力系統の同期安定性と解析 | 7章 電力系統の安定性と直流連系 7.1 電力系統の安定性と解析 |
| | | | |
| 2刷 | P.9 下から7行目 | …多数の分散型電源である再生エネルギー電源が高圧、… | …多数の分散型電源である再生可能エネルギー電源が高圧、… |
| | P.33 下から2行目 下から1行目 | $-\lambda \left(1 - \frac{\partial P_L}{P_i} \right) = 0$ | $-\lambda \left(1 - \frac{\partial P_L}{\partial P_i} \right) = 0$ |
| | | $\frac{1}{1 - \frac{\partial P_L}{P_i}}$ | $\frac{1}{1 - \frac{\partial P_L}{\partial P_i}}$ |
| | P.34 1行目 | $\frac{1}{1 - \frac{\partial P_L}{P_i}}$ | $\frac{1}{1 - \frac{\partial P_L}{\partial P_i}}$ |
| | P.41 17行目 | … [m · kW] … | … [min ⁻¹ kW, m 基準] … |
| | P.54 5行目 | $T = \frac{P_2}{\omega_{10}} = \frac{1}{\omega_{10}} \cdot \frac{\frac{R_2'}{s} \cdot V^2}{\left(R_1 + \frac{R_2'}{s} \right)^2 + (X_{10} + X_{20}')^2}$ | $T = \frac{P_2}{\omega_{10}} = \frac{3}{\omega_{10}} \cdot \frac{\frac{R_2'}{s} \cdot V^2}{\left(R_1 + \frac{R_2'}{s} \right)^2 + (X_{10} + X_{20}')^2}$ |
| | P.57 14行目 | …発電機の回転密度… | …発電機の回転速度… |
| P.83 6行目 | $= E_s \varepsilon^{j\beta}$ | $= E_s \varepsilon^{j\delta}$ | |
| P.104 図3・1 |  | 落雷の矢先：天地逆 | |

| | | |
|---------------------------|---|---|
| P.126 下から 2 行目 | …誘電磁導電圧… | …電磁誘導電圧… |
| P.132 7 行目 下から 2 行目 | …負荷電力が $P_{Ln}[W]$ から $P_{Ln} + \Delta P_{Ln}[W]$ に変 化… …負荷容量 $P_{Ln}[W]$ 基準… | …負荷電力が $P_{Ln}[MW]$ から $P_{Ln} + \Delta P_{Ln}[MW]$ に変化… …負荷容量 $P_{Ln}[MW]$ 基準… |
| P.134 11~12 行目 | …周波数特性係数 K … | …周波数特性定数 K … |
| P.145 5 行目 | $\Delta n = -V_{t1} + \Delta V = X\Delta Q + X_2\Delta Q[p.u.]$ | $\Delta n = -\Delta V_{t1} + \Delta V = X\Delta Q + X_2\Delta Q[p.u.]$ |
| P.148 3 行目 | …この場合の循環電流 i_1 は、… | …この場合の循環電流 i_1 は、… |
| P.149 下から 7 行目 | …次式で示す循環電流 i_1 が流れる. | …次式で示す循環電流 i_1 が流れる. |
| P.162 図 5・7(a) 4 行目 | i_0 (上、端子 b の電流) i_0 (下、端子 c の電流) $i_a + i_b + i_c = i_a + a^2 i_a + a i_a = 0$ | i_b i_c $i_a + i_b + i_c = i + a^2 i + a i = 0$ |
| P.163 1~3 行目 | $= (R + j\omega L)\dot{i}_a + j\omega M \times a^2 \dot{i}_a + j\omega M \times a \dot{i}_a$ $= \{R + j\omega(L + a^2 M + aM)\}\dot{i}_a$ $= \{R + j\omega(L - M)\}\dot{i}_a$ | $= (R + j\omega L)\dot{i} + j\omega M \times a^2 \dot{i} + j\omega M \times a \dot{i}$ $= \{R + j\omega(L + a^2 M + aM)\}\dot{i}$ $= \{R + j\omega(L - M)\}\dot{i}$ |
| P.166 図 5・10(b) | (回路図) 線間静電容量は電圧源 短絡により 3 線 (ベクトル図) $\dot{V}_a = V_n = -\dot{E}_a$ | 線間静電容量は電圧源 短絡により 3 線一括 $\dot{V}_a = \dot{V}_n = -\dot{E}_a$ |
| P.178 図 5・19 | 右上から 2 行目の式 $\dot{V}_b = \dot{V}_0 + a^2 \dot{V}_1 + a^2 \dot{V}_2 = \dots\dots$ | $\dot{V}_b = \dot{V}_0 + a^2 \dot{V}_1 + a \dot{V}_2 = \dots\dots$ |
| P.198 2 行目 | …零相電圧, 逆相電圧は同じ $-\frac{E_a}{2}$ になる. | …零相電圧, 逆相電圧は同じ $-\frac{E_a}{3}$ になる. |
| P.201 下から 3 行目 | …正相インピーダンス Z_0 に、… | …正相インピーダンス Z_1 に、… |
| P.207 13~14 行目 | …b 相対地電圧が最大値 $-1.0E_m$ … | …b 相対地電圧が負側の最大値 $-1.0E_m$ … |
| P.208 図 5・33 上のグ ラフ | 中央下 「1/2 サイクル後」の上 v_{cb} | v_c |
| P.228 下から 10~11 行 目 | …事故相の三相短絡事故の… | …三相短絡事故の… |
| P.229 図 6・15 | DSR | DGR |

| | | |
|-------------------------------|---|---|
| P.232 11 行目 | $= V_{1RYF} - z_1 I_{1RY}$ | $= V_{1F} - z_1 I_{1RY}$ |
| P.253 下から 6 行目 | $ I_\Phi - k I_R > K$ | $ I_d - k I_R > K$ |
| P.269 上から 2 行目 | …2 送電線は 2 回線以上, | …送電線は 2 回線以上, |
| P.285 6 行目 | $P_{r,cr} = \frac{V_s^2}{(1-XY_c)X} [p.u.], \dots$ | $P_{r,cr} = \frac{V_s^2}{2(1-XY_c)X} [p.u.], \dots$ |
| P.288 4 行目 | …リアクタンスしたときの… | …リアクタンスが 増加 したときの… |
| P.296 図 7・21 | (定余裕角制御) $V_d = \frac{3\sqrt{2}}{\pi} V_{ac} \cos\beta_{min} - \frac{3X}{\pi} I_d$ | $-V_d = \frac{3\sqrt{2}}{\pi} V_{ac} \cos\beta_{min} - \frac{3X}{\pi} I_d$ |
| P.317 下から 3 行目 | …プラスチックをラミネートした雨水遮水層… | …プラスチックをラミネートした 薄い 遮水層… |
| P.321 下から 5~6 行目 | …配電線電圧降下線路損失を軽減する… | …配電線電圧降下, 線路損失を軽減する… |
| P.335 下から 6 行目 | …実効容量が $31.9 \times 2 \text{ kV} \cdot \text{A}$ なので、… | …実効容量が $30.0 \times 2 \text{ kvar}$ なので、… |
| P.342 下から 4 行目 | …b 相, c 相対地電圧の変換によって… | …b 相, c 相対地電圧の 変化 によって… |
| P.343 表 9・8 | 二相(bc 相)完全地絡、直接接地系統の線間電圧 ab 相, ca 相: $\frac{\sqrt{3}V}{2}$ | ab 相, ca 相: $\frac{V}{\sqrt{3}}$ |
| P.364 図 9・26(b) | 電圧 30%(20 秒 ^{※2})以上 電圧 30%(20 秒 ^{※2})未満 | 電圧 30%(20% ^{※2})以上 電圧 30%(20% ^{※2})未満 |
| P.377 下から 4 行目 下から 3 行目 | 49Hz までは… …49Hz 以下になったときの… | 49.0Hz(北海道:48.5Hz, 60Hz 系統: 58.8Hz) までは… …49.0Hz(北海道:48.5Hz, 60Hz 系統: 58.8Hz)以下になったときの… |
| P.378 表 10・3 | 左欄 …周波数 49.0Hz までは… | …周波数 49.0Hz(北海道:48.5Hz, 60Hz 系統: 58.8Hz)までは… |